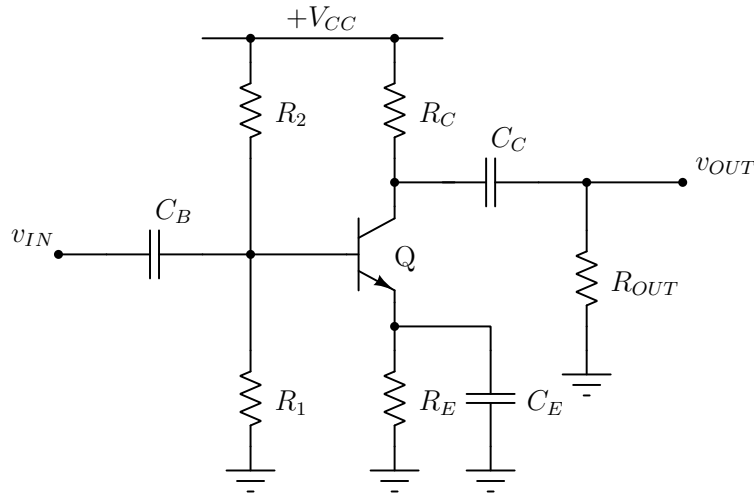


1. Na slici 1 je prikazan pojačavač snage u klasi A kod koga je  $V_{CC} = 12 \text{ V}$ ,  $R_1 = 2.7 \text{ k}\Omega$ ,  $R_2 = 9.3 \text{ k}\Omega$ ,  $V_{BE} = 0.7 \text{ V}$ ,  $V_{CES} \approx 0$ ,  $\beta_F \rightarrow \infty$ ,  $R_E = 40 \Omega$ ,  $R_C = 100 \Omega$ ,  $R_{OUT} = 100 \Omega$ ,  $C_B \rightarrow \infty$ ,  $C_E \rightarrow \infty$ ,  $C_C \rightarrow \infty$ .

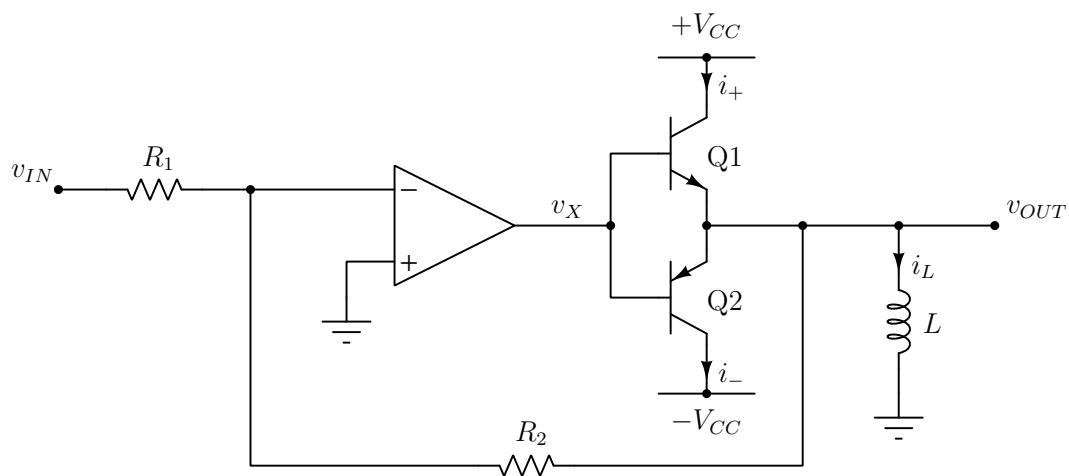
- [2] Odrediti mirnu radnu tačku tranzistora ( $I_{CQ}$ ,  $V_{CEQ}$ ).
- [2] Odrediti jednosmernu radnu pravu  $I_C$  ( $V_{CE}$ ).
- [2] Odrediti naizmeničnu radnu pravu  $i_C$  ( $v_{CE}$ ).
- [2] Odrediti maksimalnu amplitudu  $V_m$  neizobličenog izlaznog napona sinusoidalnog oblika.
- [2] Odrediti koeficijent korisnog dejstva  $\eta$  pri izlaznom naponu sinusoidalnog oblika maksimalno moguće amplitude. Korisna snaga je snaga na otporniku  $R_{OUT}$ .



Slika 1

2. Na slici 2 je prikazan pojačavač snage u klasi B koji proširuje strujni kapacitet operacionog pojačavača. Poznato je  $V_{CC} = 15 \text{ V}$ ,  $R_1 = 10 \text{ k}\Omega$ ,  $R_2 = 100 \text{ k}\Omega$ ,  $L = 1 \text{ mH}$ ,  $\omega_0 = 100 \frac{\text{krad}}{\text{s}}$ ,  $\beta_F \rightarrow \infty$ ,  $V_{BE} = 0.75 \text{ V}$ , operacioni pojačavač je idealan,  $v_{IN} = -1 \text{ V cos}(\omega_0 t)$ .

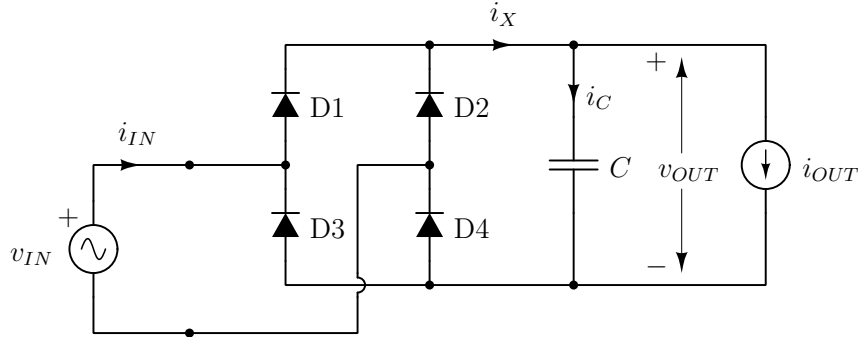
- [4] Odrediti vremenske dijagrame napona  $v_{OUT}$  i  $v_X$ , kao i struju  $i_L$ ,  $i_+$  i  $i_-$  ako je  $\bar{i}_L = 0$ .
- [2] Koristeći zakon o održanju energije odrediti srednju snagu disipacije na tranzistorima Q1 i Q2,  $P_D = P_{D1} + P_{D2}$ .
- [4] Ako je maksimalna srednja vrednost struje koju izvori za napajanje mogu da daju  $\bar{i}_{+max} = \bar{i}_{-max} = I_{max} = 1 \text{ A}$ , odrediti minimalnu vrednost  $\omega_{0min}$  kružne frekvencije ulaznog napona oblika  $v_{IN} = V_m \cos(\omega_0 t)$  za koju je moguće ostvariti amplitudu izlaznog napona  $V_{OUTm} = 10 \text{ V}$ .



Slika 2

3. Na slici 3 je prikazan ispravljač sa Grecovim spojem i prostim kapacitivnim filtrom kod koga je  $v_{IN} = 230\sqrt{2}\text{ V cos }(\omega_0 t)$ ,  $f_0 = 50\text{ Hz}$ ,  $C = 500\mu\text{F}$ , diode su sa  $V_D = 1\text{ V}$ ,  $I_{OUT} = 0.5\text{ A}$ . U analizi koristiti aproksimaciju malog ugla provođenja.

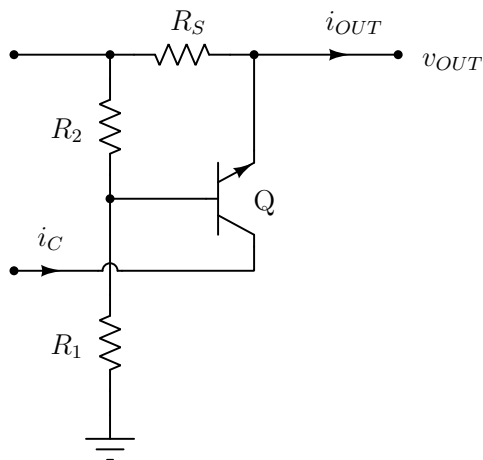
- [2] Odrediti vremenski dijagram izlaznog napona  $v_{OUT}$  i njegovu srednju vrednost  $V_{OUT}$ .
- [2] Odrediti vremenske dijagrame struja  $i_X$ ,  $i_C$  i  $i_{IN}$ .
- [2] Odrediti srednje snage disipacije na diodama  $P_{D1}$ ,  $P_{D2}$ ,  $P_{D3}$  i  $P_{D4}$ .
- [2] Odrediti koeficijent korisnog dejstva  $\eta$ .
- [2] Odrediti faktor talasnosti izlaznog napona  $\gamma$ .



Slika 3

4. Na slici 4 je prikazano kolo za reakcijsku zaštitu stabilizatora napona od kratkog spoja na izlazu. Poznato je  $V_{BE} = 0.7\text{ V}$ ,  $R_1 = 10\text{ k}\Omega$ . Nominalni izlazni napon stabilizatora napona u kome je kolo za zaštitu primenjeno je  $V_{OUT} = 5\text{ V}$ , a ulazni napon je  $V_{IN} = 10\text{ V}$ . U analizi smatrati  $i_C \ll i_{OUT}$ ,  $\beta_F \rightarrow \infty$ .

- [4] Odrediti  $R_2$  i  $R_S$  tako da maksimalna izlazna struja stabilizatora u nominalnom režimu bude  $I_{max} = 1\text{ A}$ , a struja kratkog spoja bude  $I_{SC} = 0.5\text{ A}$ . Nacrtati karakteristiku stabilizatora u  $v_{OUT}$  ( $i_{OUT}$ ) ravnici u nominalnom režimu i u režimu zaštite.
- [2] Odrediti disipaciju na stabilizatoru pri maksimalnoj izlaznoj struji u nominalnom režimu rada,  $P_{Dmax}$ , i u kratkom spoju,  $P_{DSC}$ .
- [4] Odrediti zavisnost snage disipacije na stabilizatoru od izlazne struje  $P_D(i_{OUT})$  u nominalnom režimu i u režimu zaštite i nacrtati odgovarajući dijagram. Odrediti maksimalnu disipaciju na stabilizatoru i radnu tačku ( $i_{OUT}$ ,  $v_{OUT}$ ) kada ona nastaje.



Slika 4.